

# 强夯后填土 CFG 桩复合地基加固技术

骆永生, 郑 平, 吴旭君

(冶金部建筑研究总院深圳分院, 深圳 518054)

**摘要:**根据填土区填土性质和厚度的特点, 在多种地基处理和桩基础工法的综合比较基础上, 拟建工业厂区拟采用强夯后填土+CFG 桩复合地基。经理论分析计算结合实际工程经验, 确定了强夯及 CFG 桩施工参数。现场检测结果表明, 本方案满足设计要求。

**关键词:** 强夯加固; CFG 桩复合地基; 施工参数; 检测分析

**作者简介:** 骆永生(1976— ), 广东惠州人, 从事地基基础工程施工。

## 1 概 述

某工业厂区拟建于大面积填土上, 厂房、综合楼及宿舍楼均为框架结构, 独立基础柱荷载一般为 600~4 500 kN。

### 1.1 主要土层分布

(1) 人工填土: 广布, 松散, 未完成自重固结, 平均厚度 5 m;

(2) 冲积黏土: 局部分布, 软塑-可塑, 平均厚度 3~4 m, 承载力特征值 150 kPa;

(3) 残积砂质黏性土: 广布, 硬塑, 平均厚度 4 m, 承载力特征值 200 kPa;

(4) 强风化凝灰岩: 岩石风化强烈, 碎块状, 承载力特征值 800 kPa。

### 1.2 地下水

地下水位埋深为 4.5~7.0 m, 主要接受大气降水及基岩裂隙水渗透补给, 地下水对混凝土具中等腐蚀性。

### 1.3 填土厚度大

填土区总面积为 16 000 m<sup>2</sup>, 填土厚度为 0.5~8.2 m, 平均达 5 m 厚。

### 1.4 环境

拟建区位于原始地貌属剥蚀残丘及山间凹地交汇处, 经填土平整, 场地附近周边无建筑物。

## 2 地基基础方案选择

根据场地岩土工程地质条件特点、建筑物结构和荷载特点、周边环境及当地已具备的施工方法等条件, 经勘察、设计和相关岩土工程专家多次讨论分析, 拟建区初步采用地基基础方案如下。

### 2.1 强夯后填土人工地基

在整个场地采用强夯法完成动力固结后, 填土承载力达到 160 kPa, 可为整个场地内的道路及地下管线基础提供相应的持力层, 有效减少此类构筑物在填土地基上沉降及不均匀沉降。

### 2.2 CFG 桩复合地基

多层厂房建筑物采用强夯加固后的填土和 CFG 桩形成桩土复合地基。

CFG 桩+桩间土+碎石垫层联合构成 CFG 桩复合地基, 其主要技术优势为:

(1) 采用长螺旋钻机将中空的长螺旋钻杆钻至设计深度, 在泵压(4~6 MPa)作用下边提升钻杆边灌注混凝土成桩, 成孔成桩一起完成, 有效避免了桩身质量问题。

(2) 桩顶和基础混凝土承台之间设置厚度 20~25 cm 的压实碎石垫层, 调整桩土应力比, 避免桩顶及承台底面应力集中。

(3) 充分发挥强夯后桩间填土(地基承载力特征值 160 kPa)的承载作用, 减少桩数, 降低工程

造价。

(4) 施工速度快,成孔能力强,可穿透回填土中直径较大强风化块石。

### 3 设计计算

#### 3.1 强夯

(1) 设计对强夯加固后填土的要求

强夯后填土地基承载力特征值  $f_{ak} = 160 \text{ kPa}$ , 地基变形模量  $E_0 = 7.0 \text{ MPa}$ 。

(2) 夯击能量选取

强夯法的有效加固深度通常由梅那(Menard)公式估算:

$$H = \alpha \left( \frac{W \cdot H}{10} \right)^{\frac{1}{2}}$$

式中,  $H$  为加固有效深度(m);  $W$  为夯锤重量(kN);  $H$  为锤落距(m);  $\alpha$  为修正系数。

该公式仅提供有效加固深度的估算值,据大量实践表明,该公式计算结果偏大,结合本公式的初步计算结果,并依据《建筑地基处理技术规范》(JGJ79—2002)和实际施工经验,夯击能量选取单击夯击能 2 500 kN·m。

(3) 设计施工参数(见表 1)

表 1 施工参数表

	夯击能 (kN·m)	夯点间距 (m×m)	夯击 遍数	最后两击平均 夯沉量( mm )
点夯	2 500	4 m×4 m	点夯一遍	≤50
满夯	1 000	搭接 1/4	满夯一遍	每点 1~2 击

#### 3.2 CFG 桩复合地基

(1) CFG 桩复合地基承载力特征值设计要求

复合地基承载力特征值为 400 kPa。

(2) CFG 桩复合地基构成(见图 1)

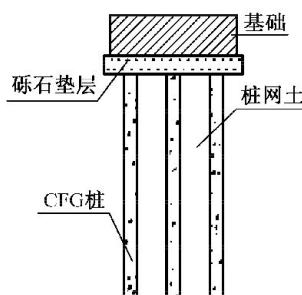


图 1 复合地基构造图

CFG 桩 + 桩间土 + 碎石褥垫层构成了 CFG 桩复合地基。上部结构荷载通过承台将荷载通过碎石褥垫层传至桩土复合地基。由于垫层是柔性的,在荷载作用下,一方面 CFG 桩桩头刺入垫层,另一方面在垫层传递荷载作用下桩间土产生沉降,在垫层的调整作用下,桩土变形协调,较充分发挥了桩间土的承载作用。

(3) 复合地基承载力计算及布桩

① 岩土参数

计算中强夯后填土和坡积土、残积土按一层考虑,桩侧摩阻力特征值为 25 kPa,强风化岩桩侧、桩端阻力分别为 60 kPa 和 1 000 kPa。

② 桩的几何参数

桩径 0.45 m, 桩距 1.35 m, 桩长 13.5 m, 桩端持力层为强风化岩层。

③ 单桩承载力特征值( $R_a$ )和复合地基承载力特征值( $f_{spk}$ )

$$R_a = U_p \sum q_{si} \cdot l_i + q_p \cdot A_p$$

$$f_{spk} = m \cdot \frac{R_a}{A_p} + \beta(1-m)f_{ak}$$

式中, $U_p$  为桩周长(m);  $q_{si}$  为桩侧摩阻力特征值(kPa);  $l_i$  为桩侧土层分层厚度(m);  $A_p$  为桩截面积( $m^2$ );  $q_p$  为桩端阻力特征值(kPa);  $m$  为桩面积置换率;  $R$  为单桩承载力特征值(kN);  $\beta$  为桩间土承载力折减系数;  $f_{ak}$  为桩间土地基承载力特征值(kPa);  $f_{spk}$  为复合地基承载力特征值(kPa)。

桩面积置换率按 3 倍桩间距布桩时通常为 0.104~0.157; 取  $m = 0.1$ 。

计算得:  $R_a > 500 \text{ kN}$ ,  $f_{spk} > 400 \text{ kPa}$ 。

计算结果表明,复合地基承载力可满足设计要求

④ 桩的平面布置

按桩距  $3d$ , 边桩中心距承台边缘  $1d$  的原则布桩,典型的独立柱基承台和条形基础下桩的平面布置图见图 2(图中尺寸均为 mm)。

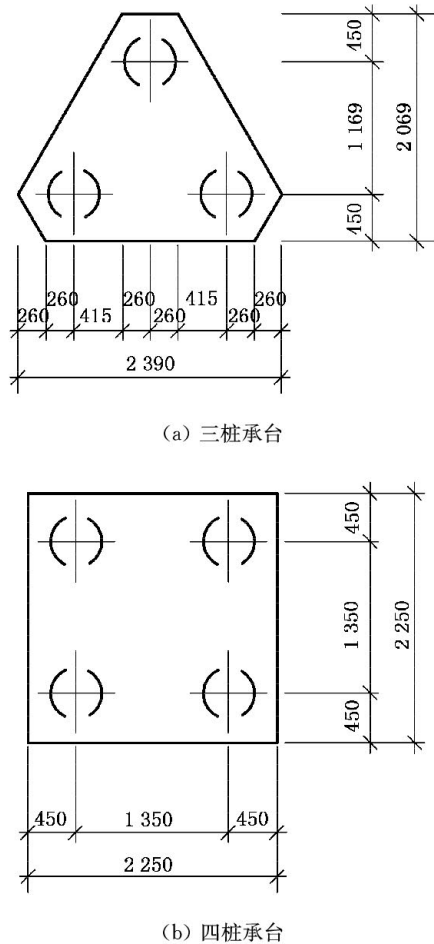


图 2 典型的 CFG 桩平面布桩图

## 4 施工技术

### 4.1 强夯施工

#### (1) 工艺流程

① 平整施工场地并测放夯点, 夯机就位, 测量夯前锤顶高程;

② 将夯锤起吊到预定的高度, 等夯锤脱钩自由下落后, 测量锤顶高程(若夯锤歪斜, 应及时将坑底整平);

③ 重复上述步骤 2, 按设计规定的夯击次数及收锤标准, 完成一个夯点的夯击;

④ 移到下一夯点, 重复上述步骤②、③, 直至完成一遍夯点夯击。推平夯坑, 整平场地, 进行一遍低能量满夯施工, 满夯布点相互重叠 1/4 锤底面积;

⑤ 平整场地完成。

#### (2) 施工质量控制

- ① 夯坑周围地面不应发生过大的隆起;
- ② 不因夯坑深度过深而发生起锤困难;
- ③ 单击夯击能 2 500 kN·m, 最后两击平均夯沉量≤50 mm;

④ 各夯点的定位偏差≤50 mm。强夯时夯锤中心一定要与夯点重合, 夯锤必须平稳落地, 如发现夯锤偏心应及时调整。

### 4.2 CFG 桩复合地基施工

#### (1) 工艺流程

该工法的成桩工艺及地基做法如下(图 3):

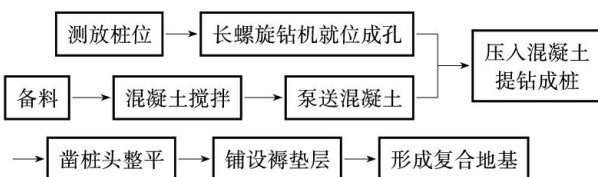


图 3 工艺流程

#### (2) 施工质量控制

① 施工前应按设计要求由试验室进行配合比试验, 施工时严格按配合比配制泵压混合料(坍落度宜为 160~200 mm);

② 钻至设计深度后, 混合料泵送量应与拔管速度相配合, 拔管速度应控制在 2.5~3.0 m/min;

③ 施工垂直度偏差不应大于 1%。施工桩顶标高宜高出设计桩顶标高不少于 0.5 m;

④ 清土和截桩时, 不得造成桩顶标高以下桩身断裂和扰动桩间土;

⑤ 褥垫层铺设宜采用静力压实法, 当基础底面下桩间土的含水量较小时, 也可采用动力夯实法, 夯填度(夯实后的褥垫层厚度与虚铺厚度的比值)不得大于 0.9。

## 5 现场检测分析

### 5.1 强夯地基检测分析

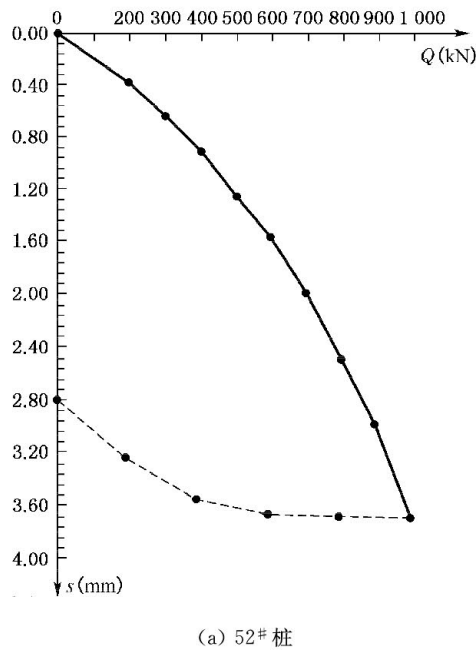
选取点夯位和夯点间土分别进行静载试验, 试验结果为: 点夯位:  $f_{ak} = 200 \text{ kPa}$ ,  $E_0 = 10.6 \text{ MPa}$ ; 夯点间土:  $f_{ak} = 180 \text{ kPa}$ ,  $E_0 = 9.2 \text{ MPa}$ 。由静载试验结果可知, 强夯后地基承载力特征值和变化模量达到设计要求。

### 5.2 单桩复合地基检测分析

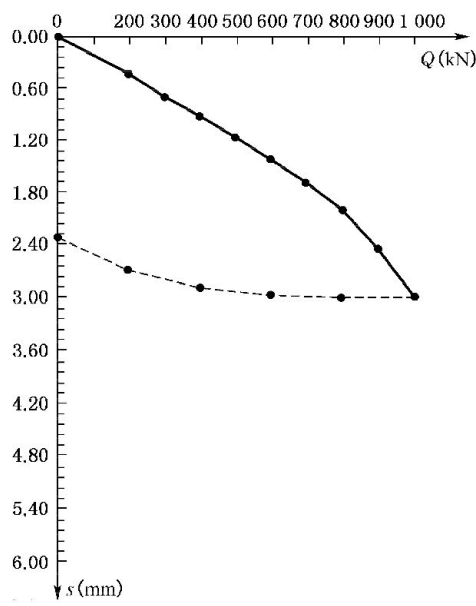
(1) 检测结果汇总见表 2、图 3。

表 2 检测结果汇总表

桩号	桩径 (mm)	桩长 (m)	单桩承 载力设 计值 (kN)	最大 荷载 (kN)	累计 沉降 (mm)	残余 沉降 (mm)	承载力 设计值 对应沉 降(mm)
52#	450	11.8	500	≥1 000	3.58	2.81	1.25
441#	450	12.8	500	≥1 000	2.97	2.30	1.15



(a) 52# 桩



(b) 441# 桩

图 3 单桩 Q-S 曲线

从上表 2、图 3 可知:单桩复合地基沉降量较小,而且 Q-S 曲线呈圆滑平缓状,无明显陡降段,沉降较稳定。综合分析,桩极限承载力为  $Q_u \geqslant 1000$  kN,符合设计要求。

## 6 结 论

(1) 强夯法虽然在不同的土层和地下水条件下,加固效果存在一定的不确定性,若据场地土性质、地下水特点,周密设计施工参数,加强施工过程控制和检测,强夯加固的效果是可以保证的。

(2) 填土区道路及地下管线等构筑物,宜采用强夯后填土作持力层。对多层厂房建筑,CFG 桩复合地基既可充分利用强夯后填土地基的承载力,又能充分发挥 CFG 桩的承载力。

(3) 强夯后填土 CFG 桩复合地基的承载力特征值远大于预估的计算值,可满足设计要求,同时又可达到工期短、经济节约的目的。

## 参 考 文 献

- [1] 徐至均. 水泥粉煤灰碎石桩复合地基[M]. 北京:机械工业出版社, 2004.
- [2] JGJ79—2002 建筑地基处理技术规范[S].
- [3] JGJ94—94 建筑桩基技术规范[S].
- [4] 陈希哲. 土力学地基基础[M]. 北京:清华大学出版社, 2004.
- [5] 地基处理手册编写委员会. 地基处理手册[M]. 北京:中国建筑工业出版社, 1998.